

ДВУХУРОВНЕВЫЕ СИСТЕМЫ В НЕСТЕХИОМЕТРИЧЕСКИХ ФЛЮОРИТОВЫХ ФАЗАХ

С.А.Казанский

При изучении в области СВЧ диэлектрических свойств твердых растворов $(MF_2)_{1-x}(RF_3)_x$, где $M = Ca, Sr, Ba; R = Lu, Y$ и $3 \cdot 10^{-3} < x < 0,3$ обнаружены двухуровневые системы, неизвестные ранее для структур типа флюорита и указывающие на перестройку кристаллической решетки в этих соединениях.

Представляющие интерес в связи с проблемой суперионной проводимости нестехиометрические твердые растворы флюоритов Ca, Sr и Ba с трифторидами редких земель и Y^1 обладают кубической решеткой флюорита в широкой области составов типа $(CaF_2)_{1-x}(YF_3)_x$ при $0 \leq x \leq 0,4$, причем, в особых условиях синтеза для составов $x = 5/m$ (где целое число $m = 13 - 19$) наблюдалось сверхструктурное упорядочение решетки флюорита². Ос-

новным структурным элементом гомологической серии сверхструктур является кластер $Y_6 F_{37}$, идеально встраиваемый в решетку флюорита. При этом ионы Y^{3+} занимают шесть ближайших мест в катионной подрешетке. Внутренний (для октаэдра Y_6) куб из восьми ионов F^- перестраивается в кубооктаэдр F_{12} , в полость которого помещается еще один нецентральный ион F^- . Есть основания полагать, что кластеры типа $Y_6 F_{37}$, возможно, доминируют во всех флюоритовых фазах при $x \geq 10^{-3}$ ^{3, 4}. По-видимому, об этом свидетельствует и обнаружение в этих фазах двухуровневых систем (ДС), о чем здесь сообщается.

Существование ДС, известных для широкого класса объектов, связывается с туннелированием ионов между двумя близкими по энергии положениями равновесия. В упрощенной теории⁵ для ДС со "спином" $1/2$ предполагается постоянная плотность состояний $n(E) = \text{const}$ при $0 \leq E \leq E_m$ ¹⁾. Каждая ДС характеризуется не зависящим от E электрическим дипольным моментом μ и дипольным моментом перехода μ' в электрическом поле E резонансной частоты $\omega = E/\hbar$. Мнимая часть ϵ'' диэлектрической проницаемости ϵ , связанная с поглощением поля E резонансными ДС равна⁵:

$$\epsilon''_{res} = (4\pi^2/27)(\epsilon'_0 + 2)^2 n \mu'^2 (1 + e^2/e_c^2)^{-1/2} \operatorname{th}(\hbar\omega/2kT), \quad (1)$$

где e_c^2 – критическое поле и $\epsilon'_0 \approx 7$ (для CaF_2 ⁷). Релаксационный член в ϵ обязан модуляции E переменным электрическим полем на $\Delta E = (2/3)(\epsilon'_0 + 2)\epsilon\mu$:

$$\epsilon_{rel} = \epsilon'_{rel} - i\epsilon''_{rel} = (4\pi/27)(\epsilon'_0 + 2)^2 (kT)^{-1} n \mu^2 \int_0^{E_m} dE \operatorname{sech}^2(E/2kT) [1 + i\omega\tau_1(E, T)]^{-1}, \quad (2)$$

причем для основного при $T < 10$ К прямого процесса "спин"-решеточной релаксации скорость $\tau_1^{-1}(E, T) = AE^3 \coth(E/2kT)$, где A – константа⁵.

В нашей работе при $T = 1,8 - 100$ К в резонаторах типа TE_{011} СВЧ диапазонов $\omega/2\pi = 8,5 - 9,5; 35 - 37$ и $72 - 76$ ГГц для образцов $(\text{CaF}_2)_{1-x}(\text{RF}_3)_x$, где $R = \text{Lu}, \text{Y}$ и $3 \cdot 10^{-3} \leq x \leq 0,3$; $(\text{SrF}_2)_{0,97}(\text{LuF}_3)_{0,03}$ и $(\text{BaF}_2)_{0,97}(\text{LuF}_3)_{0,03}$ изучалась зависимость ϵ'' от СВЧ поля в резонаторе и от температуры. Обсудим на примере $(\text{CaF}_2)_{0,99}(\text{YF}_3)_{0,01}$ результаты, доказывающие существование ДС в изученных объектах.

На рис. 1, а, б представлена экспериментальная зависимость $\epsilon''(T)$ для двух отличающихся на 30 дБ значений СВЧ мощности, рассеиваемой в резонаторе (точки "а" – большая мощность). Видно, что ϵ'' насыщается с возрастанием СВЧ поля, что позволяет выделить вклад ϵ''_{res} . При $T = 1,8$ К было определено $e_c^2 = 10^{-2}$ ед. СГСЭ (для $\omega/2\pi = 36$ ГГц). При тех же условиях из анализа временной зависимости установления стационарного значения $\epsilon''_{res}(t)$ после включения СВЧ поля было оценено время $\tau_1 = \text{неск. ед.} \cdot 10^{-7}$ с для ДС с $E = \hbar\omega$. При изменении СВЧ диапазонов оказалось, что $\epsilon''_{res} \sim \omega$ при $e^2 \ll e_c^2$ в согласии с (1). При $T < 10$ К и $e^2 \ll e_c^2$, когда ϵ''_{res} и ϵ''_{rel} сравнимы по величине, экспериментальная зависимость $\epsilon''(T)$ удовлетворительно согласуется с теоретической (рис. 1, б, г). В условиях насыщения ϵ''_{res} при $e^2 \gg e_c^2$, см. рис. 1, а, в, $\epsilon'' \approx \epsilon''_{rel} \sim T^3$ в согласии с (2) при $\omega\tau_1(3kT) \gg 1$.

В более широком температурном интервале при $T > 10$ К, когда $\epsilon'' \approx \epsilon''_{rel} \gg \epsilon''_{res}$, экспериментальные зависимости $\epsilon''(T)$, см. рис. 2, а, однако, описываются простой дебаевской зависимостью с максимумом при $T = T_m$ (рис. 2, б):

$$\epsilon'' \sim \omega\tau_1(T) [1 + \{\omega\tau_1(T)\}^2]^{-1} = (T/T_m)^3 [1 + (T/T_m)^6]^{-1},$$

причем $T_m = 19$ и 30 К для $\omega/2\pi = 9$ и 36 ГГц соответственно. (Мы не будем обсуждать природу второго максимума $\epsilon''(T)$ при ~ 80 К, см. ⁵). В то же время теоретическое вы-

¹⁾ Приложение более строгой теории двойного распределения ДС см. в ⁶.

ражение (2) приводит к значительно более пологому максимуму в $\epsilon''(T)$ даже при учете рамановского процесса релаксации δ , так как в формировании максимума принимает участие широкий, \sim неск. kT , спектр "теплых" ДС⁵. Наблюдаемая зависимость $\epsilon''(T)$ приводит к выводу о значительно меньшем разбросе времен релаксации "теплых" ДС при $T \sim \sim T_m$ в нашем случае, чем это следует из строгой теории⁶. Этот результат, возможно, свидетельствует об установлении при $T > 10$ К единого времени релаксации $\bar{\tau}_1(T) \sim T^3$, например, вследствие эффективной кросс-релаксации, объединяющей все "теплые" ДС в общий резервуар (по примеру электронных спинов⁸). Тогда при учете лишь прямого процесса релаксации имеем:

$$\bar{\tau}_1^{-1}(T) = \int_0^M dE \operatorname{sech}^2(E/2kT) \tau_1^{-1}(E, T) / \int_0^M dE \operatorname{sech}^2(E/2kT) \approx 12.17 A/(kT)^3, \quad (3)$$

$$\epsilon_{rel} = (8\pi/27)(\epsilon'_c + 2)^2 n \mu^2 [1 + i \omega \bar{\tau}_1(T)]^{-1} \quad (4)$$

в согласии с экспериментальными данными. Заметим, что при низких температурах, когда $\omega \tau_1 \gg 1$, выражения (2) и (4) равны.

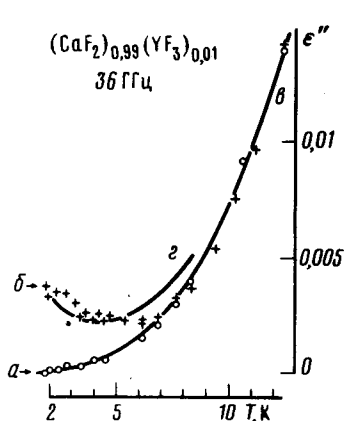


Рис. 1

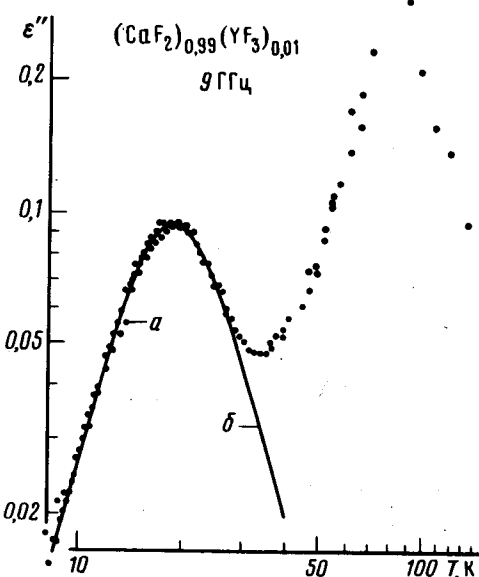


Рис. 2

Мы связываем существование ДС во флюоритовых фазах с туннельным движением нецентрального иона F⁻ в кластерах типа Y₆F₃₇. Установление единого $\bar{\tau}_1(T)$ возможно только при высокой концентрации ДС в ед. объема и вполне согласуется с выводом³ о наличии в изучаемых объектах "зерен" R-фазы, представляющей собой высококонцентрированное $\sim 10^{21}$ см⁻³ скопление кластеров. Из эксперимента следует: $E_m \geq 100$ см⁻¹, $n\mu'^2 = 2 \cdot 10^{-4}$ и $n\mu^2 = 3 \cdot 10^{-3}$. Из нижней оценки E_m получаем: $n = 10^{33}$ эрг⁻¹ · см⁻³, $\mu' = 0.4 D$ и $\mu = 1.7 D$ в согласии с ожидаемой из² величиной $\mu = 2.2 D$ для нашей модели. Из величины ϵ_c^2 при $T = 1.8$ К можно оценить минимальную ширину дыры, выжигаемую СВЧ накаечкой в распределении $n(E)$ ⁵: $\delta = (2/27)(\epsilon'_0 + 2)^2 \hbar^{-1} e_c^2 \mu'^2 \tau_1 = 0.02$ см⁻¹ $\ll kT$. Отсюда следует, что при $T = 1.8$ К установление единого $\bar{\tau}_1(T)$ не происходит. Более того, столь малое значение δ можно объяснить только в предположении статистического распределения "тепловых" ДС по всему объему кристалла, без скопления в "зернах" (т. е. число "теплых" ДС в каждом "зерне" оказывается мало при $T = 1.8$ К). На основании этих рассуждений можно оценить размеры "зерен": ~ 100 Å.

Кратко обсудим другие результаты. В образцах (CaF₂)_{1-x}(RF₃)_x при низких температурах диэлектрические потери возрастают пропорционально "x" и не зависят от R = Lu, Y. Закалка этих образцов от 950°C приводит к ослаблению в ~ 5 раз, а последующий отжиг

при $900 \rightarrow 400^\circ\text{C}$ к полному восстановлению ϵ'' в согласии с поведением кластеров при таких обработках⁷. В твердых растворах на основе SrF_2 и BaF_2 также обнаружены ДС, однако, при низких температурах ϵ'' оказалось для SrF_2 в несколько раз, а для BaF_2 — на порядок меньше, чем в твердых растворах на основе CaF_2 того же состава. Отличия, возможно, связаны с разной вероятностью для этих твердых растворов захвата в полость кубооктаэдра (см. выше) пары ионов F^- ⁴, что прекращает туннельное движение.

Теперь на основании работ^{2-4, 7} можно уверенно предсказать существование ДС для твердых растворов флюорита со всеми фторидами второй половины редкоземельного ряда. Существованием ДС, на основании выражения (4) при $\omega\tau_1(T) \ll 1$ можно объяснить обнаруженное в⁷ резкое возрастание диэлектрической проницаемости $\Delta\epsilon'_0 = 50x$, измеряемой на низких частотах $\sim 1 \text{ кГц}$ в образцах $(\text{CaF}_2)_{1-x}(\text{ErF}_3)_x$ с очень слабой температурной зависимостью при $T > 5 \text{ К}$. Наши результаты также коррелируют с обнаруженным в⁷ уменьшением приращения $\Delta\epsilon'_0/x$ в ряду основ: $\text{CaF}_2 - \text{SrF}_2 - \text{BaF}_2$.

Автор благодарит Д.А.Паршина за полезные обсуждения.

Литература

1. Archer J.A., Chadwick A.V., Jack I.R., Zegiri B. Solid State Ionics, 1983, 9/10, 505.
2. Bevan D.J.M., Strähle J., Greis O. J. Solid State Chem., 1982, 44, 75.
3. Казанский С.А. Письма в ЖЭТФ, 1983, 38, 430.
4. Bendall P.J., Catlow C.R.A., Corish J., Jacobs P.W.M. J. Solid State Chem., 1984, 51, 159.
5. Amorphous Solids (Low-Temperature Properties), ed. by W.A.Phillips, Spr.-Ver., Berlin, Heidelberg, N.-Y., 1981; см. также: Смоляков Б.П., Хаймович Е.П. УФН, 1982, 136, 317.
6. Doussineau P., Frenois C., Leisure R.G., Levelut A., Prieur J.-Y., J.Physique, 1980, 41, 1193.
7. Fontanella J., Andeen C. J. Phys. C, 1976, 9, 1055; Andeen C.G. et al. ibid, 1981, 14, 3557.
8. Азаркин В.А. Динамическая поляризация ядер в твердых диэлектриках, М.: Наука, 1980.